

第二章 导体的发热和电动力



第一节 导体的发热和散热

第二节 短路时导体发热与计算

第三节 短路时导体电动力计算

第二章 导体的发热和电动力




第一节 导体的发热和散热

第二节 短路时导体发热与计算


第三节 短路时导体电动力计算

1.1 概述

1、电气设备通过电流时产生的损耗

■ 正常运行：  长期发热

- 载流导体的电阻损耗
- 绝缘材料内部的介质损耗
- 金属构件中的磁滞和涡流损耗

■ 故障状态：  短时发热

- 短路电流

短时发热的特点：

本质：故障电能转化为热能

1) 短路电流大，发热功率大

2) 时间短，热量不易散出



导体温度迅速升高

1.1 概述

2、发热对电气设备的影响

■ 绝缘性能降低：

- 温度升高 → 有机绝缘材料老化加快

变压器6度法则：温度每升高6℃，绝缘性能下降一半

■ 机械强度下降：

- 温度升高 → 材料退火软化

■ 接触电阻增加：

- 温度升高 → 接触部分的弹性元件因退火而压力降低，同时接触表面氧化，接触电阻增加，引起温度继续升高，产生恶性循环

1.1 概述

3、一般导体最高允许温度

- 正常运行：
 - $\leq 70^{\circ}\text{C}$
 - 计及日照 $\leq 80^{\circ}\text{C}$
 - 导体接触面镀锡 $\leq 85^{\circ}\text{C}$
 - 表面镀银 $\leq 95^{\circ}\text{C}$
- 短路故障：
 - 硬铝及铝锰合金 $\leq 200^{\circ}\text{C}$
 - 硬铜 $\leq 300^{\circ}\text{C}$



1.2 导体的发热和散热

■ 导体的发热:

- 导体电阻损耗的热量
- 导体吸收太阳辐射的热量

■ 导体的散热:

- 导体对流散热
- 导体辐射散热
- 导体导热散热



1.2 导体的发热和散热

■ 导体的发热:

- 导体电阻损耗的热量 Q_R
- 导体吸收太阳辐射的热量

■ 导体的散热:

- 导体对流散热
- 导体辐射散热
- 导体导热散热



1.2 导体的发热和散热

1、导体电阻损耗的热量 Q_R

$$Q_R = I_W^2 R_{ac} \quad (\text{W/m})$$

$$R_{ac} = \frac{\rho \left[1 + \alpha_t (\theta_W - 20) \right]}{S} K_f \quad (\Omega/\text{m})$$

- 导体的集肤效应系数 K_f 与电流的频率、导体的形状和尺寸有关。

1.2 导体的发热和散热

■ 导体的发热:

- 导体电阻损耗的热量
- 导体吸收太阳辐射的热量

■ 导体的散热:

- 导体对流散热
- 导体辐射散热
- 导体导热散热



1.2 导体的发热和散热

2、导体吸收太阳辐射的热量 Q_t

太阳辐射功率密度 (W/m^2) , 一般取 $1000 \text{ W}/\text{m}^2$

$$Q_t = E_t A_t D \quad (\text{W}/\text{m})$$

导体的吸收率, 一般取 0.6

导体的外直径

1.2 导体的发热和散热

■ 导体的发热:

- 导体电阻损耗的热量
- 导体吸收太阳辐射的热量

■ 导体的散热:

- 导体对流散热
- 导体辐射散热
- 导体导热散热



1.2 导体的发热和散热

3、导体对流散热量 Q_1

- 对流：由气体各部分发生相对位移将热量带走的过程。

$$Q_1 = \alpha_1 (\theta_w - \theta_0) F_1$$

θ_w —— 导体温度；

θ_0 —— 周围空气温度。



1.2 导体的发热和散热

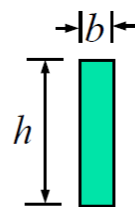
3、导体对流散热量 Q_1

■ 对流：由气体各部分发生相对位移将热量带走的过程。

$$Q_1 = \alpha_1 (\theta_W - \theta_0) F_1$$

F_1 ——单位长度导体散热面积。

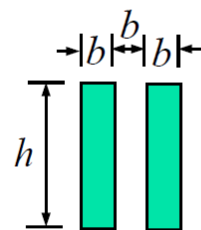
主要与导体尺寸、布置方式等因素有关。导体片（条）间距离越近，对流条件就越差，故有效面积相应减小。



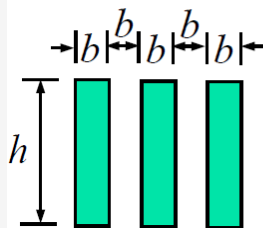
$$A_1 = \frac{h}{1000}$$

$$A_2 = \frac{b}{1000}$$

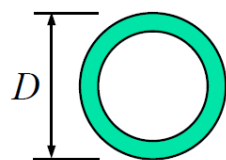
$$F_1 = 2(A_1 + A_2)$$



$$\text{当 } b = \begin{cases} 6\text{mm} \\ 8\text{mm} \\ 10\text{mm} \end{cases}, F_1 = \begin{cases} 2A_1 \\ 2.5A_1 + A_2 \\ 3A_1 + 4A_2 \end{cases}$$



$$\text{当 } b = \begin{cases} 8\text{mm} \\ 10\text{mm} \end{cases}, F_1 = \begin{cases} 3A_1 + 4A_2 \\ 4(A_1 + A_2) \end{cases}$$



$$F_1 = \pi D$$

1.2 导体的发热和散热

3、导体对流散热量 Q_1

■ 对流：由气体各部分发生相对位移将热量带走的过程。

$$Q_1 = \alpha_1 (\theta_w - \theta_0) F_1$$

α_1 ——对流散热系数。根据对流条件的不同，有不同的计算公式。

■ 自然对流散热系数 $\alpha_1 = 1.5 (\theta_w - \theta_0)^{0.35}$

■ 强迫对流散热系数 $\alpha_1 = N_u \lambda / D$

如果风向与导体不垂直，还需要乘以修正系数 $\beta = A + B (\sin \varphi)^n$

修正后的强迫对流散热：

$$Q_1 = \frac{N_u \lambda}{D} (\theta_w - \theta_0) [A + B (\sin \varphi)^n] \pi D$$



1.2 导体的发热和散热

■ 导体的发热:

- 导体电阻损耗的热量
- 导体吸收太阳辐射的热量

■ 导体的散热:

- 导体对流散热
- 导体辐射散热
- 导体导热散热



1.2 导体的发热和散热

4、导体辐射散热量 Q_f

■ 辐射：热量从高温物体以热射线方式传给低温物体的传播过程。

$$Q_f = 5.73\varepsilon \left[\left(\frac{273 + \theta_w}{100} \right)^4 - \left(\frac{273 + \theta_0}{100} \right)^4 \right] F_f$$

F_f ——单位长度导体的辐射散热面积，依导体形状和布置情况而定。

ε ——为导体材料的相对辐射系数，衡量物体表面向外辐射能量的强弱。



1.2 导体的发热和散热

■ 导体的发热:

- 导体电阻损耗的热量
- 导体吸收太阳辐射的热量

■ 导体的散热:

- 导体对流散热
- 导体辐射散热
- 导体导热散热



1.2 导体的发热和散热

5、导体导热散热量 Q_d

■ 导热:

- 固体中, 由于晶格振动和自由电子运动, 使热量由高温区传至低温区。
- 气体中, 气体分子不停地运动, 高温区域的分子比低温区域的分子具有较高的速度, 分子从高温区运动到低温区, 便将热量带至低温区。

The diagram illustrates the formula for heat conduction: $Q_d = \lambda F_d \frac{\theta_1 - \theta_2}{\delta}$. Each term is labeled with an arrow pointing to it: Q_d is labeled '导热面积' (Heat conduction area); λ is labeled '导热系数' (Thermal conductivity coefficient); F_d is labeled '物体厚度' (Object thickness); $\theta_1 - \theta_2$ is labeled '高温区温度' (High temperature zone temperature) and '低温区温度' (Low temperature zone temperature); and δ is labeled '物体厚度' (Object thickness).

1.3 导体载流量的计算

1、导体的载流量

■ 定义

- 导体长期运行允许通过的电流。

■ 为什么要计算导体载流量？

- 在长期通过工作电流时，导体发热且温度升高。所以，需要根据要求计算导体的长期**允许电流（载流量）**。



1.3 导体载流量的计算

2、导体的温升过程

■ 导体的发热: $Q_R = I^2 R$

■ 导体的散热: $Q_l + Q_f + Q_d \approx Q_l + Q_f = \alpha_w (\theta_w - \theta_0) F$

■ 热平衡方程: $Q_R = Q_l + Q_f + \Delta Q$

■ 在 dt 时间里: $I^2 R dt = \alpha_w F (\theta_w - \theta_0) dt + mcd\theta_w$



1.3 导体载流量的计算

2、导体的温升过程

$$I^2 R dt = \alpha_w F (\theta_w - \theta_0) dt + mc d\theta_w$$

- 导体通过正常工作电流时，其温度变化范围不大，因此：

- 电阻 R 、散热系数 α_w 以及比热容 c 均可视为常数

$$dt = -\frac{mc}{\alpha_w F} \frac{1}{I^2 R - \alpha_w F (\theta_w - \theta_0)} d[I^2 R - \alpha_w F (\theta_w - \theta_0)]$$

- 对上式进行积分，当时间由 $0 \rightarrow t$ 时，温度从初始温度 θ_k 上升至相应温度 θ

$$t = -\frac{mc}{\alpha_w F} \ln \frac{I^2 R - \alpha_w F (\theta - \theta_0)}{I^2 R - \alpha_w F (\theta_k - \theta_0)}$$



1.3 导体载流量的计算

2、导体的温升过程

- 设开始温升为 $\tau_k = \theta_k - \theta_0$; 时间由 $0 \rightarrow t$ 时, t 时刻的温升为 τ
带入上式

$$\tau = \frac{I^2 R mc}{\alpha_w \alpha F_w} \left(1 - \ln e^{\frac{I^2 R}{mc} t} \right) + \tau_k e^{-\frac{\alpha_w F}{mc} t}$$

- 当 $t \rightarrow \infty$ 时, 导体的温升将趋于稳定值 $\tau_w = \frac{I^2 R}{\alpha_w F}$

- 令 $T_r = \frac{mc}{\alpha_w F}$ ——导体的散热时间常数, 得到导体温升最终表达式

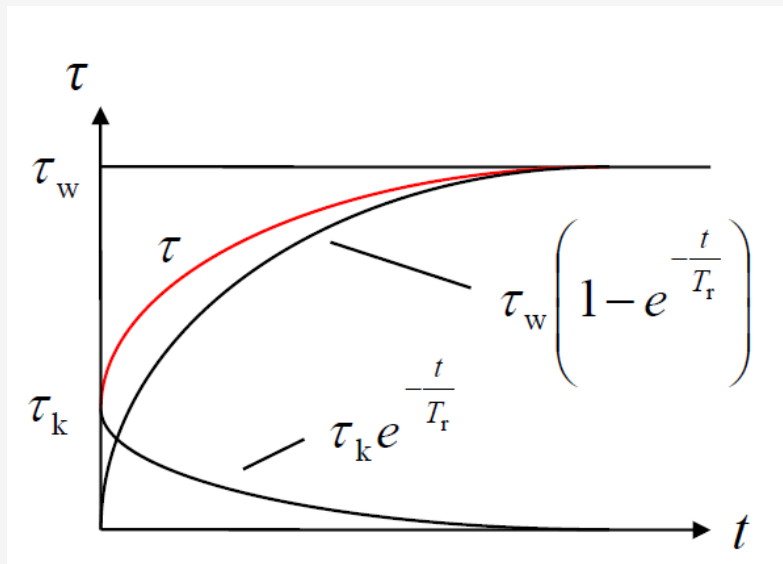
$$\tau = \tau_w (1 - e^{-\frac{t}{T_r}}) + \tau_k e^{-\frac{t}{T_r}}$$

1.3 导体载流量的计算

2、导体的温升过程

■ 导体温升最终表达式 $\tau = \tau_w (1 - e^{-\frac{t}{T_r}}) + \tau_k e^{-\frac{t}{T_r}}$

■ 导体温升变化曲线



1.3 导体载流量的计算

3、导体的载流量

- 导体长期通过电流，稳定温升为：

$$\tau_w = \frac{I^2 R}{\alpha_w F}$$

- 则，导体的载流量为：

$$I = \sqrt{\frac{\alpha_w F (\theta_w - \theta_0)}{R}} = \sqrt{\frac{Q_l + Q_f - Q_t}{R}}$$

1.3 导体载流量的计算

3、导体的载流量

■ 导体的载流量为：

$$I = \sqrt{\frac{\alpha_w F (\theta_w - \theta_0)}{R}} = \sqrt{\frac{Q_l + Q_f - Q_t}{R}}$$

■ 提高导体载流量的措施：

- ①采用电阻率小的材料，如铝、铝合金等；
- ②采用表面积较大的形状，如矩形、槽形；
- ③采用散热效果最佳的方式，如矩形导体竖放。



1.3 导体载流量的计算

例2-1 室内配电装置装有 $100\text{mm} \times 8\text{mm}$ 的矩形铝导体，表面涂漆，导体正常运行温度 $\theta_w = 70^\circ\text{C}$ ，周围空气温度 $\theta_0 = 25^\circ\text{C}$ ，**计算导体载流量**。

解

$$I = \sqrt{\frac{Q_1 + Q_f}{R}}$$

(1) 计算对流散热 Q_1 $Q_1 = \alpha_1 (\theta_w - \theta_0) F_1$

$$\alpha_1 = 1.5 (\theta_w - \theta_0)^{0.35} = 1.5 (70 - 25)^{0.35} = 5.68 \text{ W}/(\text{m}^2 \cdot ^\circ\text{C})$$

$$F_1 = 2 (A_1 + A_2) = 0.246 \text{ m}^2/\text{m}$$

$$Q_1 = 5.68 \times (70 - 25) \times 0.216 = 55.26 \text{ W/m}$$



1.3 导体载流量的计算

例2-1 室内配电装置装有100mm×8mm的矩形铝导体，表面涂漆，导体正常运行温度 $\theta_w = 70^\circ\text{C}$ ，周围空气温度 $\theta_0 = 25^\circ\text{C}$ ，**计算导体载流量**。

解

$$I = \sqrt{\frac{Q_1 + Q_f}{R}}$$

(2) 计算辐射散热 Q_f
$$Q_f = 5.73\varepsilon \left[\left(\frac{273 + \theta_w}{100} \right)^4 - \left(\frac{273 + \theta_0}{100} \right)^4 \right] F_f$$

导体表面涂漆，查表的辐射系数 $\varepsilon=0.95$

$$F_f = 2(A_1 + A_2) = 0.246 \text{ m}^2/\text{m}$$

$$Q_f = 5.73 \times 0.95 \left[\left(\frac{273 + 70}{100} \right)^4 - \left(\frac{273 + 25}{100} \right)^4 \right] \times 0.216 = 69.65 \text{ W/m}$$



1.3 导体载流量的计算

例2-1 室内配电装置装有 $100\text{mm} \times 8\text{mm}$ 的矩形铝导体，表面涂漆，导体正常运行温度 $\theta_w = 70^\circ\text{C}$ ，周围空气温度 $\theta_0 = 25^\circ\text{C}$ ，**计算导体载流量。**

解

$$I = \sqrt{\frac{Q_1 + Q_f}{R}}$$

(3) 计算交流电阻 $R_{ac} = R_{dc} K_f = \frac{\rho [1 + \alpha_t (\theta_w - 20)]}{S} K_f$

直流电阻 $R_{dc} = \frac{0.029 [1 + 0.004 (70 - 25)]}{100 \times 8} = 0.04355 \times 10^{-3} \Omega/\text{m}$

根据: $\sqrt{\frac{f}{R_{dc}}} = \sqrt{\frac{50}{0.04355}} = 33.88$ 且 $\frac{b}{h} = 0.08$

集肤效应查图，有 $K_f = 1.05$ 因此，交流电阻 $R_{ac} = 0.04573 \times 10^{-3} \Omega/\text{m}$



1.3 导体载流量的计算

例2-1 室内配电装置装有 $100\text{mm} \times 8\text{mm}$ 的矩形铝导体，表面涂漆，导体正常运行温度 $\theta_w = 70^\circ\text{C}$ ，周围空气温度 $\theta_0 = 25^\circ\text{C}$ ，**计算导体载流量**。

解

$$I = \sqrt{\frac{Q_1 + Q_f}{R}}$$

(4) 计算导体载流量

$$I = \sqrt{\frac{Q_1 + Q_f}{R}} = \sqrt{\frac{55.26 + 69.65}{0.04573 \times 10^{-3}}} = 1653 \text{ A}$$



1.3 导体载流量的计算

4、大电流导体附近钢构件的发热

- 产生原因：大电流导体周围产生的强大交变电磁场，使附近钢构件中产生很大的磁滞和涡流损耗。
- 不良影响：
 - ①因热应力而导致材料变形和损坏；
 - ②钢筋受热膨胀，导致混凝土裂缝。
- 钢构最高允许温度的规定：
 - ①人可触及的钢构为 70°C ，人不可触及的钢构为 100°C ；
 - ②混凝土中钢筋为 80°C 。



1.3 导体载流量的计算

4、大电流导体附近钢构件的发热

■ 减少钢构损耗和发热的措施：



间的距离；

格；



第二章 导体的发热和电动力



第一节 导体的发热和散热

第二节 短路时导体发热与计算

第三节 短路时导体电动力计算

2.1 引言

短路时发热的含义：

- 导体短路时发热，是指从短路开始至短路切除为止很短一段时间内导体发热的过程。

短路时发热的特点：

- 短路电流大，发热量多
 - 时间短，热量不易散发
 - 电阻和比热容不能再视为常数
- 导体的温度迅速升高，绝热过程

短路时发热计算的目的：

- 确定短路时导体达到的最高温度。



2.2 导体短路时发热过程

热平衡关系：

$$Q_R = \underbrace{Q_l + Q_f + Q_c}_{\text{散热} \approx 0} = Q_c$$

↑ 升温

在 dt 时间内：

$$i^2 R dt = m C d\theta \quad \longrightarrow \quad i_{kt}^2 R_\theta dt = m C_\theta d\theta$$

$$R_\theta = \rho_0 (1 + \alpha \theta) \frac{l}{S} \quad C_\theta = C_0 (1 + \beta \theta) \quad m = \rho_m S l$$

$$\longrightarrow \quad i_{kt}^2 \rho_0 (1 + \alpha \theta) \frac{l}{S} dt = \rho_m S l C_0 (1 + \beta \theta) d\theta$$

2.2 导体短路时发热过程

$$i_{kt}^2 \rho_0 (1 + \alpha \theta) \frac{l}{S} dt = \rho_m S l C_0 (1 + \beta \theta) d\theta$$

整理得到：

$$\frac{1}{S^2} i_{kt}^2 dt = \frac{C_0 \rho_m}{\rho_0} \left(\frac{1 + \beta \theta}{1 + \alpha \theta} \right) d\theta$$

两边积分：

$$\frac{1}{S^2} \int_0^{t_k} i_{kt}^2 dt = \frac{C_0 \rho_m}{\rho_0} \int_{\theta_w}^{\theta_h} \frac{1 + \beta \theta}{1 + \alpha \theta} d\theta$$

求解得到：

$$\begin{aligned} \frac{1}{S^2} \int_0^{t_k} i_{kt}^2 dt &= \frac{C_0 \rho_m}{\rho_0} \left[\frac{\alpha - \beta}{\alpha^2} \ln(1 + \alpha \theta_h) + \frac{\beta}{\alpha} \theta_h \right] \\ &\quad - \frac{C_0 \rho_m}{\rho_0} \left[\frac{\alpha - \beta}{\alpha^2} \ln(1 + \alpha \theta_w) + \frac{\beta}{\alpha} \theta_w \right] \end{aligned}$$



2.2 导体短路时发热过程

$$\frac{1}{S^2} \int_0^{t_k} i_{kt}^2 dt = \frac{C_0 \rho_m}{\rho_0} \left[\frac{\alpha - \beta}{\alpha^2} \ln(1 + \alpha \theta_h) + \frac{\beta}{\alpha} \theta_h \right] - \frac{C_0 \rho_m}{\rho_0} \left[\frac{\alpha - \beta}{\alpha^2} \ln(1 + \alpha \theta_w) + \frac{\beta}{\alpha} \theta_w \right]$$

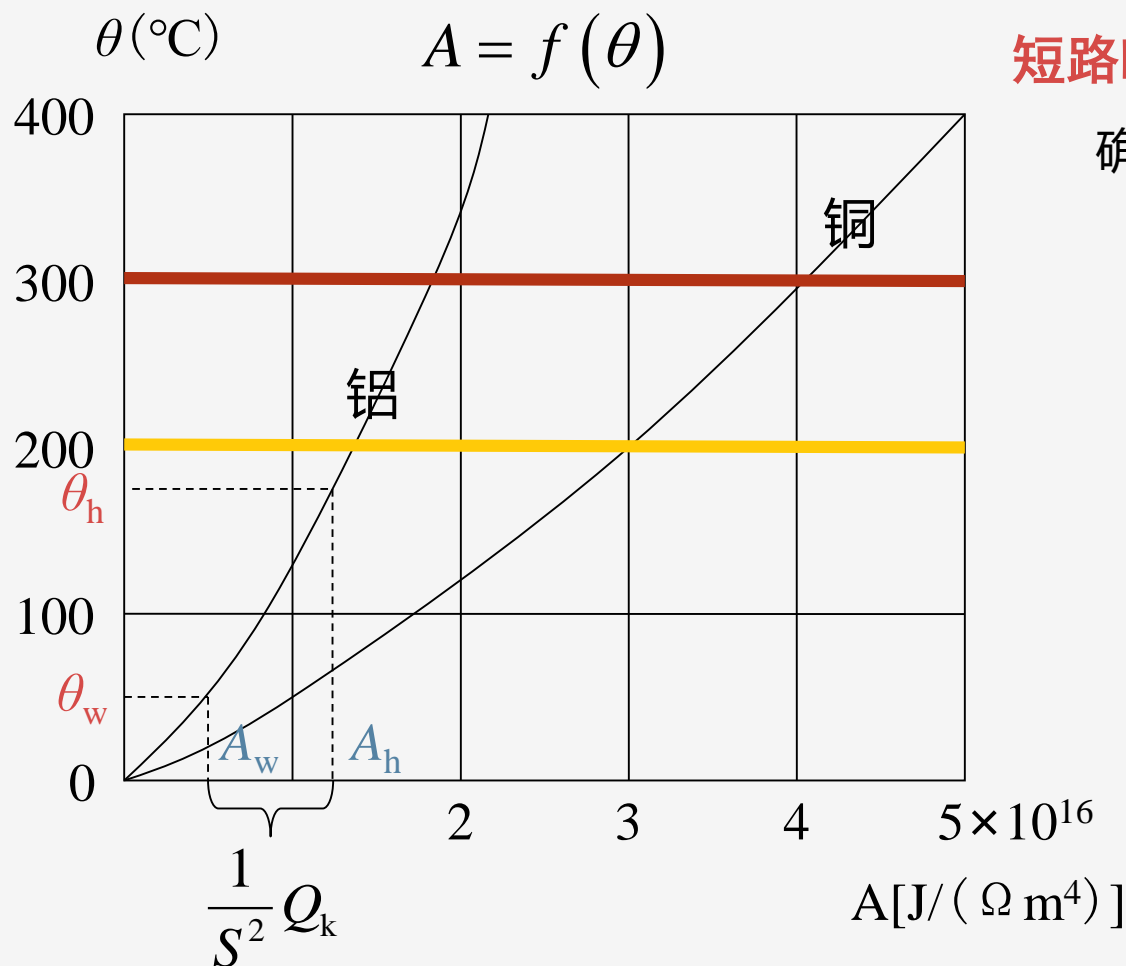
$Q_k = \int_0^{t_k} i_{kt}^2 dt$ —— 短路电流的热效应，或热脉冲

$$\begin{aligned} A_h &= \frac{C_0 \rho_m}{\rho_0} \left[\frac{\alpha - \beta}{\alpha^2} \ln(1 + \alpha \theta_h) + \frac{\beta}{\alpha} \theta_h \right] = f(\theta_h) \\ A_w &= \frac{C_0 \rho_m}{\rho_0} \left[\frac{\alpha - \beta}{\alpha^2} \ln(1 + \alpha \theta_w) + \frac{\beta}{\alpha} \theta_w \right] = f(\theta_w) \end{aligned} \quad \left. \vphantom{\begin{aligned} A_h \\ A_w \end{aligned}} \right\} A = f(\theta)$$

Part 2

短路时导体发热与计算

2.2 导体短路时发热过程



短路时发热计算的目的:

确定短路时导体达到的最高温度

$$\frac{1}{S^2} Q_k = A_h - A_w$$

$$A_h = A_w + \frac{1}{S^2} Q_k$$

$$Q_k = \int_0^{t_k} I_{kt}^2 dt$$



2.3 短路电流热效应 Q_k 的计算

$$I_{kt} = \sqrt{2}I_{pt} \cos \omega t + i_{np0} e^{-\frac{t}{T_a}}$$

短路电流
周期分量有效值
短路电流
非周期分量起始值

非周期分量
衰减时间常数

$$Q_k = \int_0^{t_k} I_{kt}^2 dt = \int_0^{t_k} \left(\sqrt{2}I_{pt} \cos \omega t + i_{np0} e^{-\frac{t}{T_a}} \right)^2 dt$$

$$\approx \int_0^{t_k} I_{pt}^2 dt + \frac{T_a}{2} \left(1 - e^{-\frac{2t_k}{T_a}} \right) i_{np0}^2 = Q_p + Q_{np}$$

- 由于短路电流 I_{kt} 的表达式很复杂，一般难于用简单的解析式求解 Q_k ，工程上常采用近似计算法计算。

2.3 短路电流热效应 Q_k 的计算

1. 短路电流周期分量热效应 Q_p 的计算

- 数值积分的Simpson法

任意曲线 $y = f(x)$ 的定积分，可用下式近似计算：

$$\int_a^b f(x) dx = \frac{b-a}{3n} [(y_0 + y_n) + 2(y_2 + \cdots + y_{n-2}) + 4(y_1 + \cdots + y_{n-1})]$$

若 $n=4$ ，则
$$\int_a^b f(x) dx = \frac{b-a}{12} [(y_0 + y_4) + 2(y_2) + 4(y_1 + y_3)]$$

因为 $y_1 + y_3 \approx 2y_2$ ，则
$$\int_a^b f(x) dx = \frac{b-a}{12} [y_0 + 10y_2 + y_4]$$



2.3 短路电流热效应 Q_k 的计算

1. 短路电流周期分量热效应 Q_p 的计算

- 短路电流周期分量的热效应

$$Q_p = \int_0^{t_k} I_{pt}^2 dt \quad \int_a^b f(x) dx = \frac{b-a}{12} [y_0 + 10y_2 + y_4]$$

$$y = f(x) = I_{pt}^2 \quad a = 0 \quad b = t_k$$

$$y_0 = I''^2 \quad y_2 = I_{t_k/2}^2 \quad y_4 = I_{t_k}^2$$

$$Q_p = \int_0^{t_k} I_{pt}^2 dt = \frac{t_k}{12} [I''^2 + 10I_{t_k/2}^2 + I_{t_k}^2]$$

2.3 短路电流热效应 Q_k 的计算

2. 短路电流非周期分量热效应 Q_{np} 的计算的计算

$$Q_{np} = \frac{T_a}{2} \left(1 - e^{-\frac{2t_k}{T_a}} \right) i_{np0}^2 \quad i_{np0} = -\sqrt{2}I''$$

$$= \frac{T_a}{2} \left(1 - e^{-\frac{2t_k}{T_a}} \right) (-\sqrt{2}I'')^2 = T_a \left(1 - e^{-\frac{2t_k}{T_a}} \right) I''^2 = TI''^2$$

非周期分量等效时间，可查表得。

- 若 $t_k > 1s$ ，则 Q_{np} 可忽略。

2.3 短路电流热效应 Q_k 的计算

$$\begin{aligned} Q_k &= \int_0^{t_k} I_{kt}^2 dt = Q_p + Q_{np} \\ &= \frac{t_k}{12} \left(I''^2 + 10I_{t_k/2}^2 + I_{t_k}^2 \right) + TI''^2 \end{aligned}$$

$$A_h = A_w + \frac{1}{S^2} Q_k$$

从而实现对导体短路发热的最高温度的计算



2.3 短路电流热效应 Q_k 的计算

铝导体型号为LMY-100×8，正常工作电压 $U_N=10.5\text{ kV}$ ，正常负荷电流 $I_w=1500\text{ A}$ 。正常负荷时，导体的温度 $\theta_w=46^\circ\text{C}$ ，继电保护动作时间 $t_{pr}=1\text{ s}$ ，断路器全开断时间 $t_{br}=0.2\text{ s}$ ，短路电流 $I''=28\text{ kA}$ ， $I_{0.6s}=22\text{ kA}$ ， $I_{1.2s}=20\text{ kA}$ 。计算短路电流的热效应和导体的最高温度。

解 (1) 计算短路电流的热效应

$$t_k = t_{pr} + t_{br} = 1 + 0.2 = 1.2(\text{s})$$

$$\because t_k = 1.2\text{ s} > 1\text{ s}$$

$$\begin{aligned}\therefore Q_k \approx Q_p &= \frac{t_k}{12} [I''^2 + 10I_{t_k/2}^2 + I_{t_k}^2] = \frac{1.2}{12} [28^2 + 10 \times 22^2 + 20^2] \\ &= 602.4 \times 10^6 (\text{A}^2 \cdot \text{s})\end{aligned}$$



2.3 短路电流热效应 Q_k 的计算

铝导体型号为LMY-100×8，正常工作电压 $U_N=10.5$ kV，正常负荷电流 $I_w=1500$ A。正常负荷时，导体的温度 $\theta_w = 46^\circ\text{C}$ ，继电保护动作时间 $t_{pr}=1$ s，断路器全开断时间 $t_{br}=0.2$ s，短路电流 $I''=28$ kA， $I_{0.6s}=22$ kA， $I_{1.2s}=20$ kA。计算短路电流的热效应和导体的最高温度。

解 (2) 计算导体的最高温度

由 $\theta_w = 46^\circ\text{C}$ ，查图得 $A_w = 0.35 \times 10^{16}$ J/($\Omega \cdot \text{m}^4$)

$$\begin{aligned} A_h &= A_w + \frac{1}{S^2} Q_k = 0.35 \times 10^{16} + \frac{1}{\left(\frac{100}{1000} \times \frac{8}{1000} \right)^2} \times 602.4 \times 10^6 \\ &= 0.444 \times 10^{16} [\text{J}/(\Omega \cdot \text{m}^4)] \end{aligned}$$

查图得 $\theta_h = 60^\circ\text{C} < 200^\circ\text{C}$ （铝导体最高允许温度）



第二章 导体的发热和电动力



第一节 导体的发热和散热

第二节 短路时导体发热与计算

第三节 短路时导体电动力计算

3.1 引言

什么是电动力？

- 载流导体位于磁场中，将受到磁场力的作用，称为电动力。

为什么要进行电动力计算？

- 短路时，导体中通过很大的短路电流，导体会遭受巨大的电动力作用。如果机械强度不够，将使导体变形或损坏。

物理本质：故障电能转化为机械能



3.1 引言

比奥——萨伐尔定律

$$\vec{F} = \vec{i} \times \vec{B}$$

单位长度 dl 上，导体所受电动力 dF 为

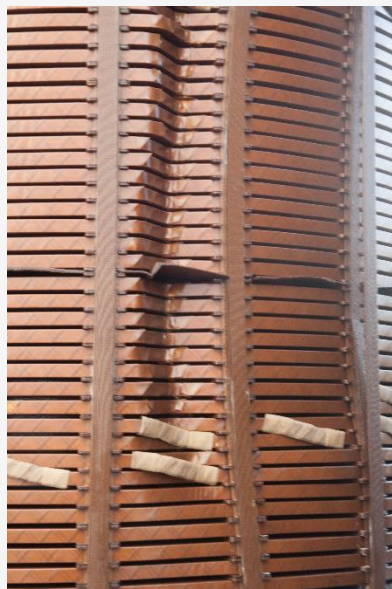
$$dF = iB\sin\alpha dl$$



$$F = \int_0^L iB\sin\alpha dl$$

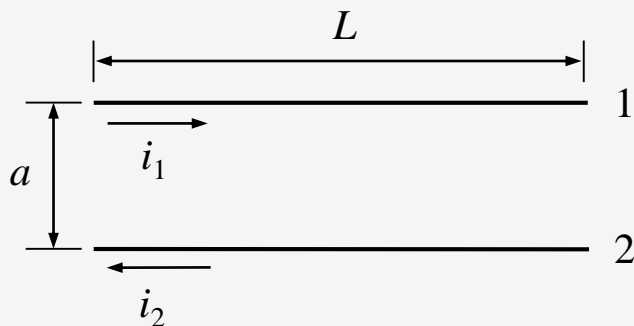


$$F \propto i^2$$



3.2 两条导体间的电动力

- 两条平行细长载流导体间的电动力



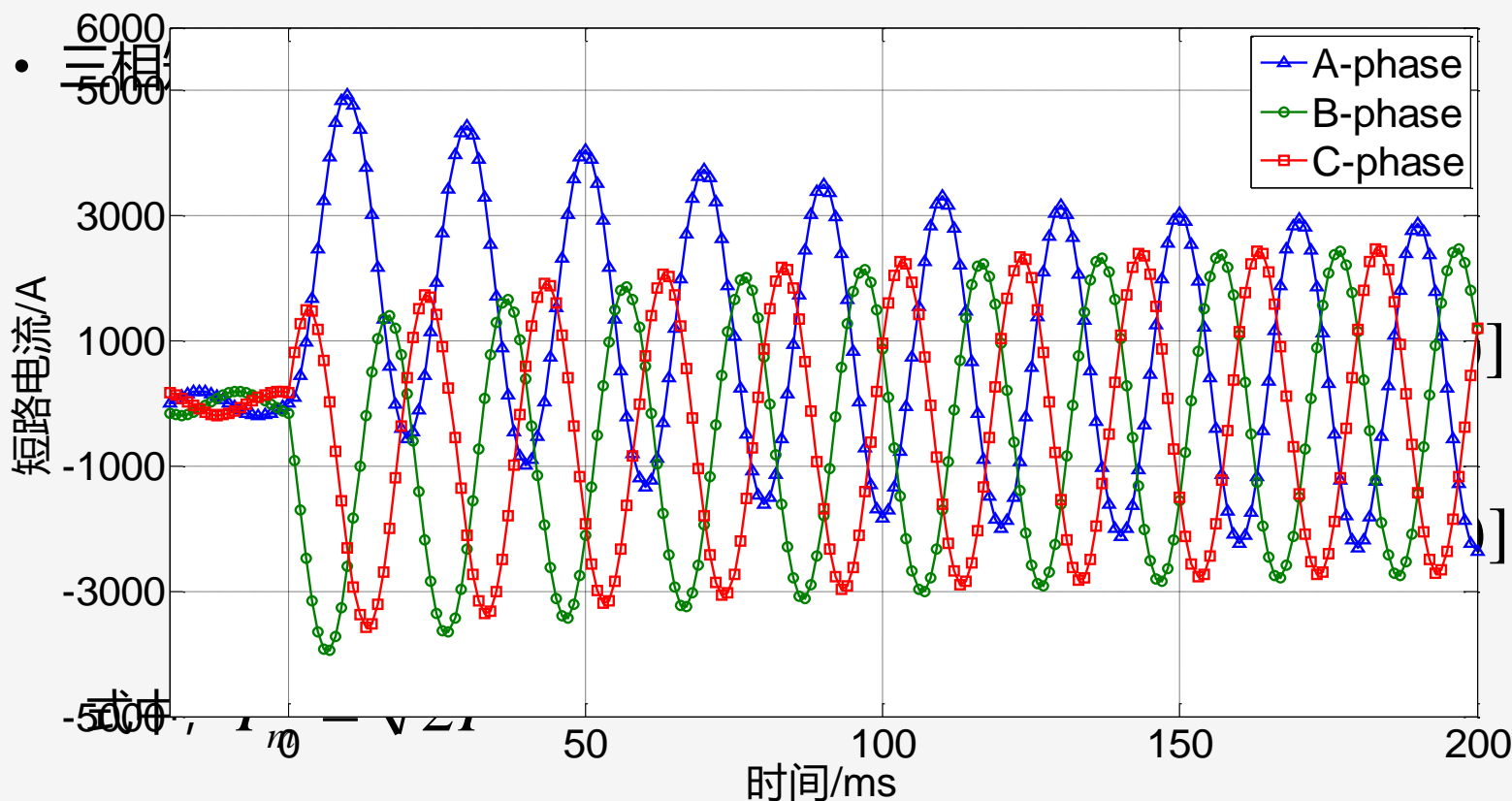
$$F = 2 \times 10^{-7} \frac{L}{a} i_1 i_2$$

■ 考虑导体截面尺寸和形状的影响

- 截面形状：矩形、圆形、槽形等
- 工程计算：乘以形状系数，即 $F = 2 \times 10^{-7} \frac{L}{a} i_1 i_2 K$

3.3 三相导体短路电动力

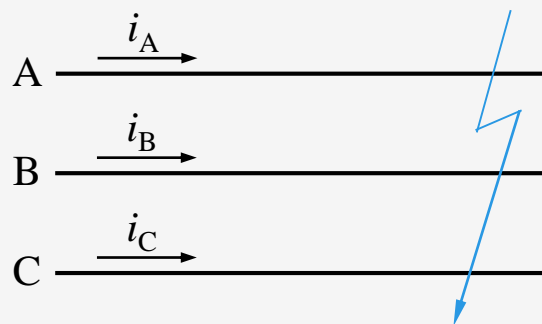
1. 电动力的计算



3.3 三相导体短路的电动力

1. 电动力的计算

- 假设三相导体布置在同一平面内
- 在三相短路时，中间相(B相)和外边相(A、C相)的受力情况并不相同



3.3 三相导体短路电动力

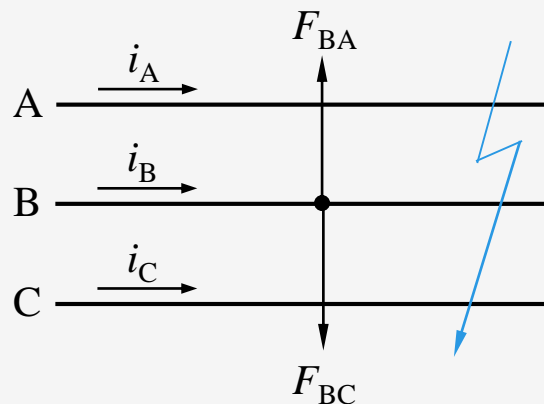
作用在中间相的电动力

$$F_B = F_{BA} - F_{BC}$$

$$= 2 \times 10^{-7} \frac{L}{a} (i_B^{(3)} i_A^{(3)} - i_B^{(3)} i_C^{(3)})$$

$$= 2 \times 10^{-7} \frac{L}{a} I_m^2 \left\{ \frac{\sqrt{3}}{2} \sin \left(2\phi_A - \frac{4}{3} \pi \right) e^{-\frac{t}{T_a/2}} \right.$$

$$- \sqrt{3} \sin \left(\omega t + 2\phi_A - \frac{4}{3} \pi \right) e^{-\frac{t}{T_a}} \left. + \frac{\sqrt{3}}{2} \sin \left(2\omega t + 2\phi_A - \frac{4}{3} \pi \right) \right\}$$



按 $\frac{T_a}{2}$ 衰减的非周期分量

按 T_a 衰减的工频分量

不衰减的2倍工频分量

3.3 三相导体短路的电动力

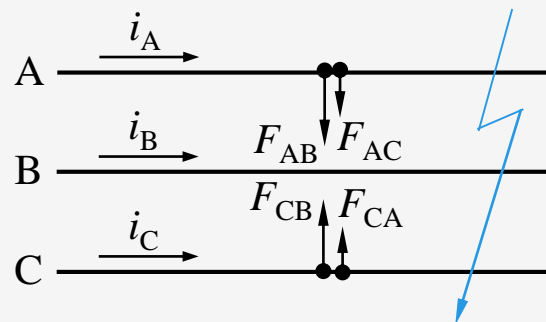
作用在外边相的电动力

$$\begin{aligned}
 F_A &= F_{AB} + F_{AC} \\
 &= 2 \times 10^{-7} \frac{L}{a} (i_A^{(3)} i_B^{(3)} + 0.5 i_A^{(3)} i_C^{(3)}) \\
 &= 2 \times 10^{-7} \frac{L}{a} I_m^2 \left\{ \frac{3}{8} \right.
 \end{aligned}$$

$$+ \left[\frac{3}{8} - \frac{\sqrt{3}}{4} \cos \left(2\phi_A + \frac{\pi}{6} \right) \right] e^{-\frac{t}{T_a/2}}$$

$$- \left[\frac{3}{4} \cos \omega t - \frac{\sqrt{3}}{2} \cos \left(\omega t + 2\phi_A + \frac{\pi}{6} \right) \right] e^{-\frac{t}{T_a}}$$

$$- \frac{\sqrt{3}}{4} \cos \left(2\omega t + 2\phi_A + \frac{\pi}{6} \right) \left. \right\}$$



不衰减的固定分量

按 $\frac{T_a}{2}$ 衰减的非周期分量

按 T_a 衰减的工频分量

不衰减的2倍工频分量

3.3 三相导体短路的电动力

2. 电动力的最大值

- 出现最大值的条件:

1) 非周期分量为最大, 初相角需满足一定条件;

2) 短路后半周期, 即 $t = 0.01\text{s}$ 时, 三相冲击电流 $i_{\text{sh}}^{(3)} = 1.82I_m$

- 则 $F_{A\max} = 1.616 \times 10^{-7} \frac{L}{a} [i_{\text{sh}}^{(3)}]^2$

$$F_{B\max} = 1.73 \times 10^{-7} \frac{L}{a} [i_{\text{sh}}^{(3)}]^2$$

可见 $F_{B\max} > F_{A\max}$ 故计算最大电动力时应取B相的值。



3.3 三相导体短路时的电动力

2. 电动力的最大值

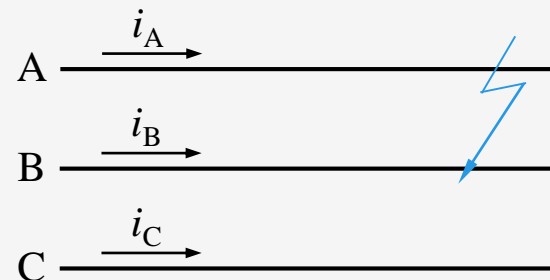
- 比较两相短路和三相短路时的电动力

由于 $I''^{(2)} = \frac{\sqrt{3}}{2} I''^{(3)}$ 即 $i_{sh}^{(2)} = \frac{\sqrt{3}}{2} i_{sh}^{(3)}$

$$\begin{aligned} \text{所以 } F_{\max}^{(2)} &= 2 \times 10^{-7} \frac{L}{a} [i_{sh}^{(2)}]^2 \\ &= 2 \times 10^{-7} \frac{L}{a} \left[\frac{\sqrt{3}}{2} i_{sh}^{(3)} \right]^2 = 1.5 \times 10^{-7} \frac{L}{a} [i_{sh}^{(3)}]^2 \end{aligned}$$

可见 $F_{B \max} > F_{A \max} > F_{\max}^{(2)}$

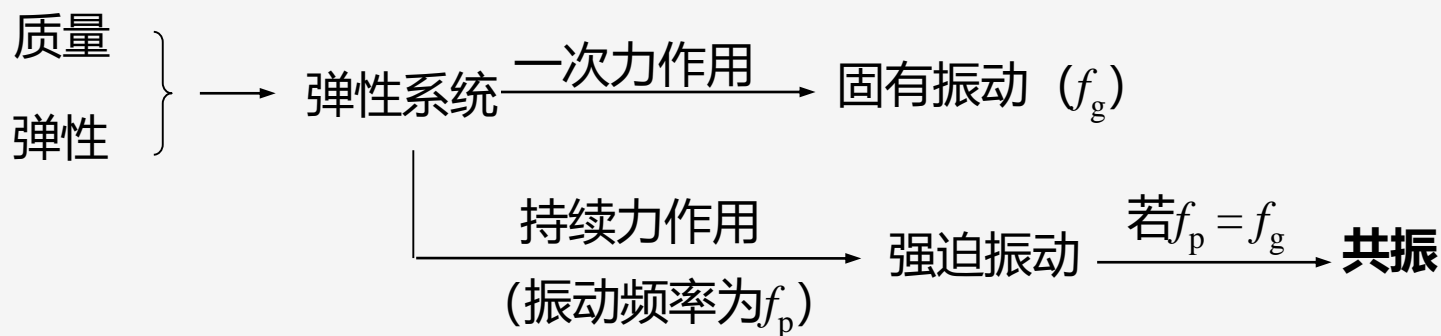
故 $F_{\max} = F_{B \max} = 1.73 \times 10^{-7} \frac{L}{a} [i_{sh}^{(3)}]^2$



3.3 三相导体短路电动力

3. 导体振动时的动态应力

- 共振



- ◆ 三相短路电动力中含有工频和 2 倍工频两个分量。
- ◆ 如果导体的固有频率接近这两个频率之一时，就会出现共振现象，甚至使导体及其构架损坏。
- ◆ 凡连接发电机、主变以及配电装置的导体，均应避免发生共振。

3.3 三相导体短路的电动力

3. 导体振动时的动态应力

- 一阶固有频率的计算

$$f_1 = \frac{N_f}{L^2} \sqrt{\frac{EJ}{m}}$$

式中 N_f ——频率系数;

L ——跨距;

E ——导体材料的弹性模量;

J ——导体截面惯性矩;

m ——导体单位长度的质量。



3.3 三相导体短路的电动力

3. 导体振动时的动态应力

- 动态应力的影响

为了避免导体产生危险的共振，对于重要的导体，应使其固有频率在下述范围以外：

- 单条导体及一组中的各条导体35~135Hz;
- 多条导体及引下线的单条导体35~155Hz;
- 槽形和管形导体30~160Hz。



3.3 三相导体短路的电动力

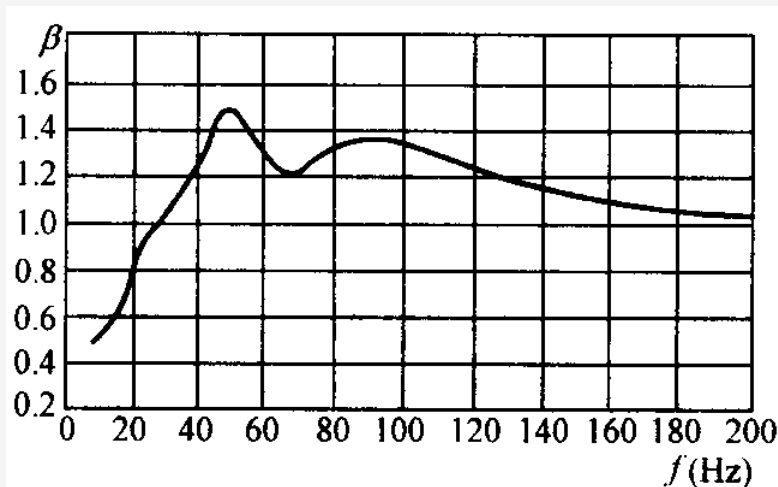
3. 导体振动时的动态应力

- 动态应力的影响

对动态应力的考虑，一般采用修正静态算法，即

$$F_{\max} = 1.73 \times 10^{-7} \frac{L}{a} [i_{\text{sh}}^{(3)}]^2 \beta$$

动态应力系数



可见，当固有频率较低时， $\beta < 1$ ；
当固有频率较高时， $\beta \approx 1$ 。

3.3 三相导体短路的电动力

某发电厂装有10kV单条矩形铝导体，尺寸为 $60\times 6\text{mm}$ ，支柱绝缘子之间的距离 $L=1.2\text{m}$ ，相间距离 $a=0.35\text{m}$ ，三相短路冲击电流 $i_{\text{sh}}=45\text{kA}$ 。导体弹性模量 $E=7\times 10^{10}\text{Pa}$ ，单位长度的质量 $m=0.972\text{kg/m}$ 。
试求导体的固有频率及最大电动力。

解 导体的截面惯性矩 $J = \frac{bh^3}{12} = \frac{0.6\times 6^3}{12} \times 10^{-8} = 10.8\times 10^{-8}(\text{m}^4)$

导体的一阶固有频率为 $f_1 = \frac{N_f}{L^2} \sqrt{\frac{EJ}{m}}$

当导体支撑方式为两端简支，查表得 $N_f=1.57$,

故有 $f_1 = \frac{1.57}{1.2^2} \sqrt{\frac{7\times 10^{10} \times 10.8\times 10^{-8}}{0.972}} = 96.15(\text{Hz})$



3.3 三相导体短路的电动力

某发电厂装有10kV单条矩形铝导体，尺寸为 $60\times 6\text{mm}$ ，支柱绝缘子之间的距离 $L=1.2\text{m}$ ，相间距离 $a=0.35\text{m}$ ，三相短路冲击电流 $i_{\text{sh}}=45\text{kA}$ 。导体弹性模量 $E=7\times 10^{10}\text{Pa}$ ，单位长度的质量 $m=0.972\text{kg/m}$ 。
试求导体的固有频率及最大电动力。

解 $f_1=96.15\text{Hz}$ 在 $35\sim 135\text{Hz}$ 范围以内，应考虑动态应力系数。

查曲线，对应 $f=96.15\text{Hz}$ ， $\beta=1.35$ ，

$$\begin{aligned}\text{则 } F_{\max} &= 1.73\times 10^{-7} \frac{L}{a} i_{\text{sh}}^2 \beta \\ &= 1.73\times 10^{-7} \frac{1.2}{0.35} \times 45000^2 \times 1.35 = 1621.5(\text{N})\end{aligned}$$

